

## 放水路掘さく・ポンアド海運船の能率的使用法について

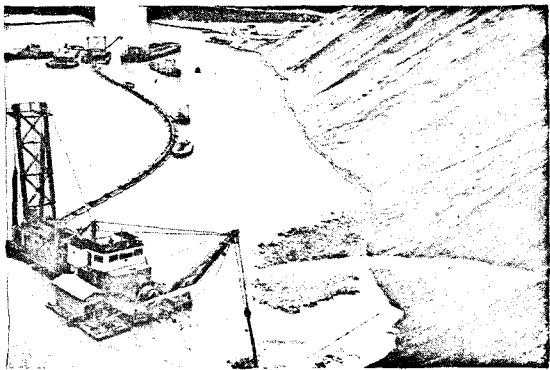
— 河北浮干拓のバージローディング方式 —

北陸農政局河北浮干拓建設事業所 正員 田仲喜一郎

### I. はじめに

農林省直轄河北浮干拓建設事業における計画の骨子は、内灘砂丘に延長1670mの新放水路を開さくし、河北浮へ流入する洪水を日本海へ直接排除して、浮面積2248.1haのうち1,415.6haの干拓地を造成するものである。したがって、この放水路の掘さく工量7,070,4m<sup>3</sup>を掘さく・運搬・干拓堤防盛土する作業は最も重要な工事のひとつになつてゐる。

本工事の掘さくそして運搬する施工法としては、干拓堤防盛土箇所までの平均運搬距離約3kmからして、ポンアド海運船によつて掘さくし、その運搬は土運船によつて施工することが最も経済的であつた。このためポンアド海運船は、放水路断面を整形しながら土砂を高能率で掘さくし、土運船へ積載するようバージローディング方式を満足させる必要があつた。これらの検討の結果その施工機械としては、ディーゼル600PSポンアド海運船とその後尾にサンドローダー(砂積込船)を付属させるべくしたが、本文はこの施工計画において主にポンアド海運船の能率の検討にあたつての方々と試験等による性能の解析結果を報告し、参考に供したい。



( ジェット噴射水によって崩壊させた土砂を D.C.600PS  
S.P.船(手前)で掘さくして、サンドローダーから土  
運船(後方)へ積載する。 )

表-1. D.C.600PSポンアド海運船設計仕様

設計揚水量	1,600t/h	回転数	415r/min (450-345)
搬送距離	800m	搬送管径	410mm
インペラーパー	1.150 (1.06)		

サンドローダー仕様

船体長さ	17.40	操舵用ウインチ	3台
中	8.0	搬送管径	410mm
深さ	1.0	その他	電気設備 漁船用スパート

### II. バージローディング方式とポンアド海運船の運転の考え方

#### 1. サンドローダー(砂積込船)について

この船は、ポンアド海運船から水上宮によつて搬送されてきた土砂を、グラウンドで土運船へ積載せらるローディングステーションとしての作業目的を有している。したがつてポンアド海運船は、土運船の接舷積込みとは無関係に連続運転が可能であり、高い稼働能率が得られる。

#### 2. ポンアド海運船の運転計画

本工事の場合のポンアド海運船の運転計画の基本的には考え方としては、近距離搬送を行つて能率を上げることであるが、(1)各機間に適当荷状態を生じさせず、低揚程で大きな揚水量を上げること。(2)土質条件からポンアド海運船の収入能力、搬送能力と含砂率の關係を把握し最適送砂距離を検討すること。

が、手えられた D.C. 600PS カンフ<sup>ア</sup>渡渉船を最も合理的に使用する条件となる。そしてこれらを検討した結果(1)についての対策は、インペラーハイを 960mm に短縮すること、ディーゼル機関であるため運転時の回転数を 380 r.p.m 程度におとすことをとした。(2)については、現場において各実測試験を行い、以下のような解析結果を得た。

### III. カンフ<sup>ア</sup>渡渉船性能とその解析

#### 1. 砂丘土質と管内流速と含砂率

内灘砂丘土砂は、平均粒径 0.3mm 程度、均等係数 3.0 の非常に均一な組成をなした中砂(比重  $\gamma_s = 2.68$ )である。この土質の管径に対する流速と含砂率との関係を次の理論から検討して、実測から図-1を得た。

$$\text{シラント実験式 } \frac{V_0}{F_0} = \sqrt{2.3 DC(T_3 - 1)}$$

$$\therefore 2F_0^2 = \frac{V_0^2}{2D} \cdot \frac{1}{T_3 - 1}$$

$$\Rightarrow \text{フルード数 } F_r = \frac{V_0}{\sqrt{2D}} \cdot \frac{1}{T_3 - 1} \text{ と同一なので}$$

$$F = \frac{V_0^2}{2D} \cdot \frac{1}{T_3 - 1} \text{ とおくと } F = 2F_0^2 \text{ である。}$$

$V_0$ : 限界沈降速度 (%)  $F_0$ : 流中固体

の粒度と含砂率によって異なる係数

$T_3$ : 固体比重 2.68  $\vartheta$ : 9.8(%)

D: 管径 0.41(m)

$$= \frac{V_0^2}{2.9 \times 0.41 \times 1.68} = \frac{V_0^2}{6.75}$$

#### 2. 実測性能曲線

実測性能曲線は、カンフ<sup>ア</sup>渡渉船の性能試験から、清水時、送砂時の各機器データーを実測して描くことができるが、その解析手順と結果は次のようである。

A. 管路抵抗入、土壤係数  $\beta$ 。 $\lambda = 0.022$ ,  $\beta = 1.5$

B. 乾燥時ににおける流速低下量  $\Delta V$

$$\Delta V = \frac{x_0(C(T_3 - 1))}{1 + \beta x_0(C(T_3 - 1))} \left\{ (\beta - 1) \frac{V_{w0}}{2} + 0.8 \right\} = \frac{1.68 x_0}{1 + 1.5 \times 1.68 x_0} \left\{ 0.5 \frac{V_{w0}}{2} + 0.8 \right\}$$

$x_0$ : 積荷率含砂率  $x_0 = \frac{x_0}{x}$

$x$ : 積荷含砂率  $x_0$ : 仮比重 1.68

$V_{w0}$ : 清水時流速 (%)

上式の計算から表-2を得る。

図-1. 排流相似係数-含砂率

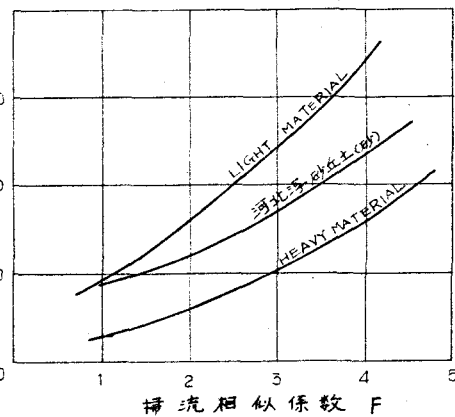


表-2  $\Delta V - x$

$x(\%)$	$x_0$	$V_{w0}$	3.5	4.0	4.5	5.0	5.5	6.0	6.5
5	0.0313	0.082	0.088	0.094	0.100	0.106	0.112	0.118	
10	0.0627	0.153	0.164	0.175	0.187	0.198	0.209	0.221	
15	0.094	0.214	0.230	0.246	0.267	0.278	0.294	0.310	
20	0.125	0.267	0.287	0.307	0.327	0.347	0.367	0.387	
25	0.1565	0.316	0.339	0.363	0.386	0.400	0.434	0.457	

表-3  $G - V_m$

$V_m$	$x_0$	400	450	500	550	600
3.5	$x_0$	0.145	0.175	0.205	0.236	
	$G$	385	465	544	626	
4.0	$x_0$	0.118	0.147	0.174	0.204	0.232
	$G$	358	445	528	620	716
4.5	$x_0$	0.095	0.124	0.150	0.179	0.216
	$G$	324	422	510	606	702
5.0	$x_0$	0.071	0.097	0.122	0.150	0.175
	$G$	269	367	462	568	664
5.5	$x_0$	0.049	0.064	0.088	0.113	0.137
	$G$	167	267	367	472	572
6.0	$x_0$	0.031	0.034	0.056	0.080	0.103
	$G$	50	155	255	364	470
6.5	$x_0$		0.010	0.030	0.052	0.073
	$G$		49	148	256	360

表-4  $G - V_m$

$F$	$x$	$V_m$	$G(%)$
3	0.17	4.5	364
3.5	0.20	4.85	460
4	0.225	5.2	558
4.5	0.26	5.52	682

### C. 吸入負圧と含砂率 $V_m - V_s$

$$V_m = \Delta V + V_w = \Delta V + h_r$$

$$\Delta V = z_0 (f_s - 1) (h_u + \beta h_r)$$

$V_m$ : 吸砂時負圧  $\Delta V$ : 吸砂による負圧増加量,  $V_w$ : 清水時負圧,  $h_r$ : 深津深度 10m,  $h_u$ : 清水時吸入抵抗

吸入負圧の変化量は含砂率に比例するところから上式の計算結果で 図-2 が得る。

### D. 海藻土量 G

$$G = 3,600 \times X_s \times V_m \times A \times \frac{f_s}{f_d}$$

$G$ : 海藻土量(%)  $V_m$ : 吸砂時管内

流速  $A$ : 管断面積  $0.132 m^2$

$$= 3,600 \times X_s \times V_m \times 0.132 \times \frac{2.68}{1.68}$$

上式から、表-3 のように吸入負圧による海藻土量が計算される。

### E. 実用性能曲線

上の諸計算から送砂距離と海藻土量との関係をあらわしたのが図-3 であるが、一方注意の管内流速を得た場合の搬送管と含砂率は、図-1 の関係によって決ってくる。表-4 は管内流速によって送砂可能な土量と考えられ、その結果は図-3 の太線で表わされる。このことは、ポンプ・海藻船は常に吸入能力と搬送能力がバランスした状態で運転されなければならないことを示すが、負圧が一定の場合、近距離搬送はポンプの吸入能力によって海藻土量が左右され、遠距離搬送では管内流速によって支配されることが明らかに示されている。

### IV むすび

本工事の場合、実際には砂丘を一度ジェットポンプによる噴射水で崩壊させ、その土砂をルーズな状態にしてから浚渫するようにして、送砂時の負圧は 500mmHg 程度を常に保させるようにしている。したがってこの場合の搬送距離は 180m 程度が、最高能率 450% 程度を掲げる最適距離と考えられ、通常 DC600PS ポンプ・海藻船能率の約 2 倍の結果を得ている。一般にポンプ・海藻船の使用法としては、最高能率を發揮できる最適搬送距離で施工することが、最も経済的な施工法となるが、よくにバージローディング方式のように搬送距離が加減できるような場合、最適距離の検討は重要なことと思われる。二つでは、ひとつの方針として本工事の解析例を述べたが、その要旨は(1) 海藻土量を知ること、(2) ポンプ・海藻船の土質による吸入能力と搬送能力を把握することである。

図-2 吸入負圧—含砂率

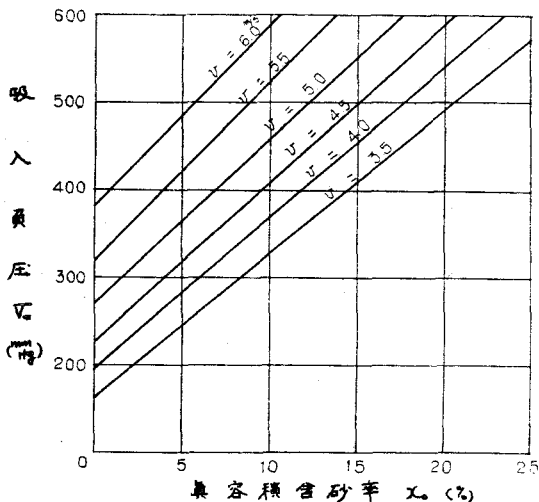


図-3 DC600PS 船(バージローディング) 実用性能曲線

